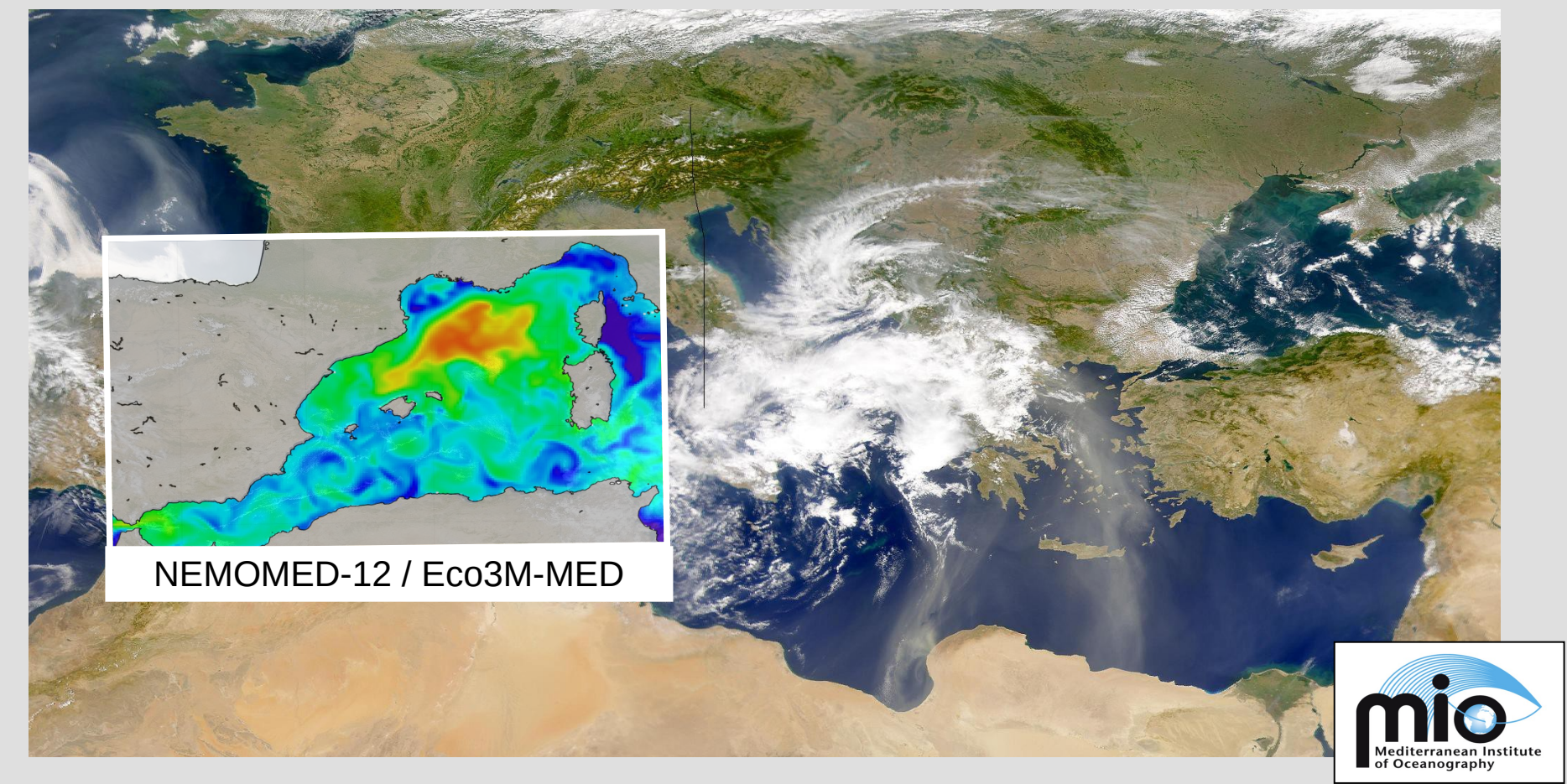
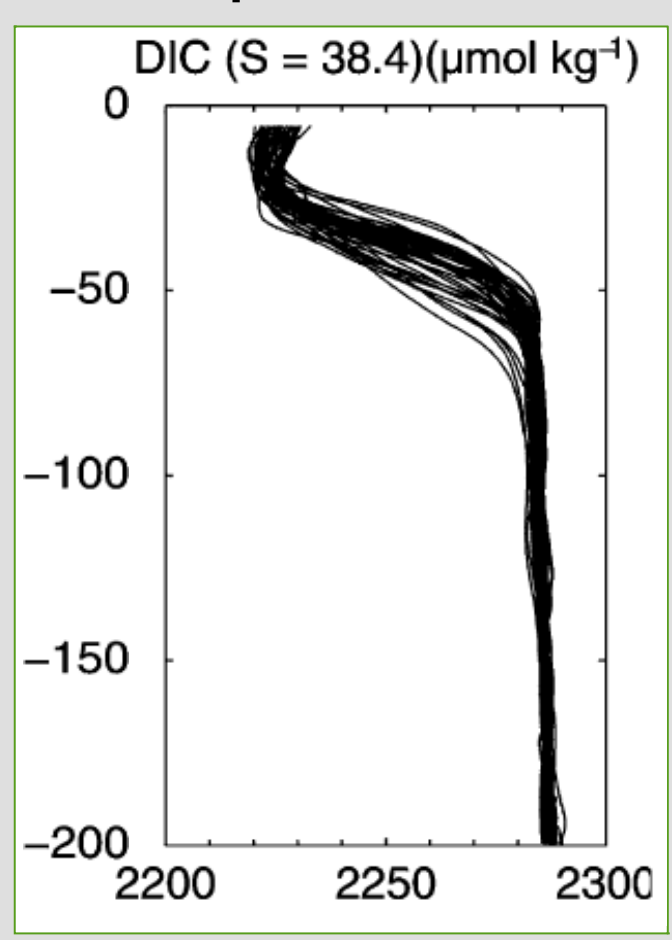
Estimation de l'exportation du carbone organique en Mer Méditerranée à l'aide de la modélisation

A. Guyennon, M. Baklouti, F. Diaz, T. Moutin, J.C. Dutay K. Béranger, C. Lebaupin-Brossier, T. Arsouze, J. Palmieri, J. Beuvier





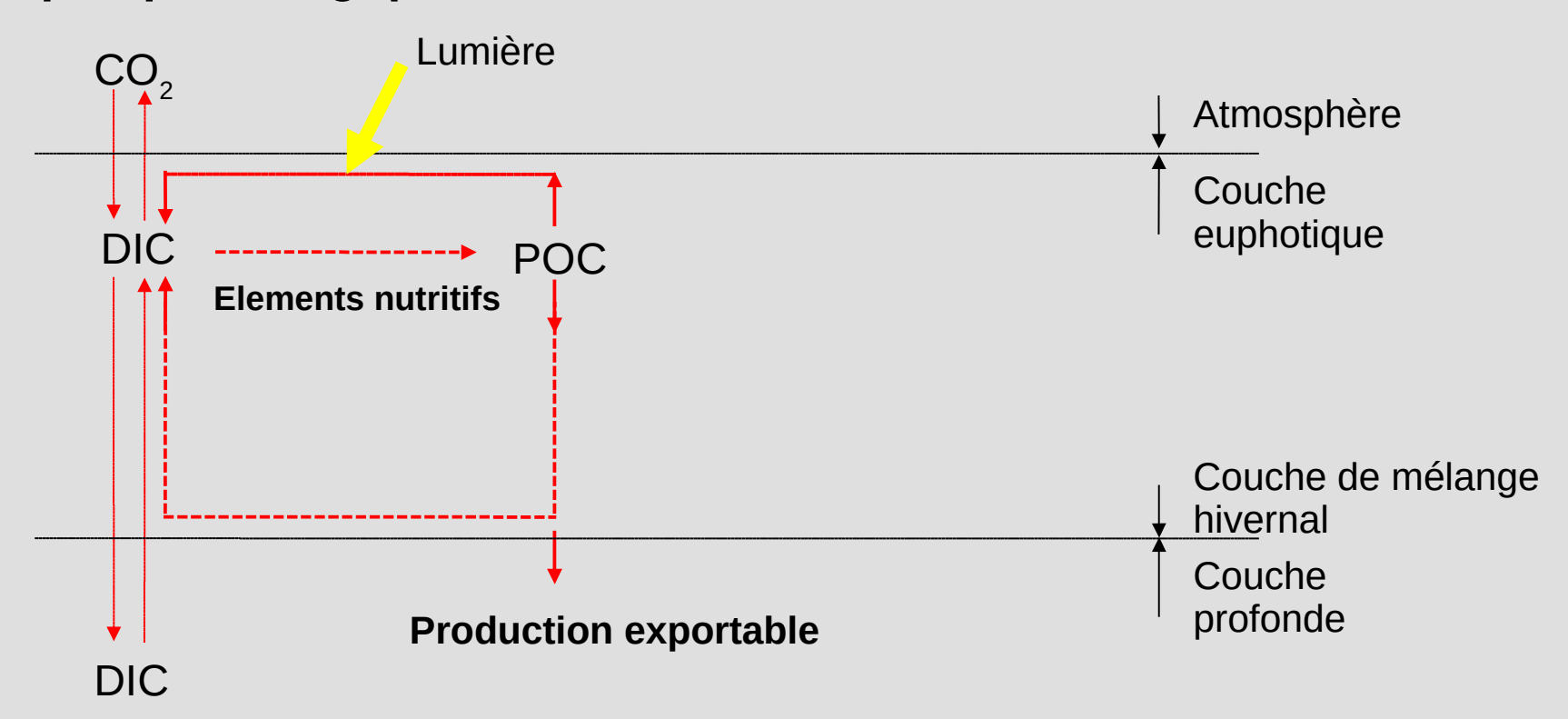
La séquestration du carbone : la pompe à carbone



- **Gradient** des concentrations en **carbone** dans l'océan avec un maximum en profondeur.

Si les concentrations océaniques étaient en permanence homogènes verticalement cela aurait pour conséquence d'augmenter la concentration en CO₂ de 50 % [1] dans l'atmosphère.

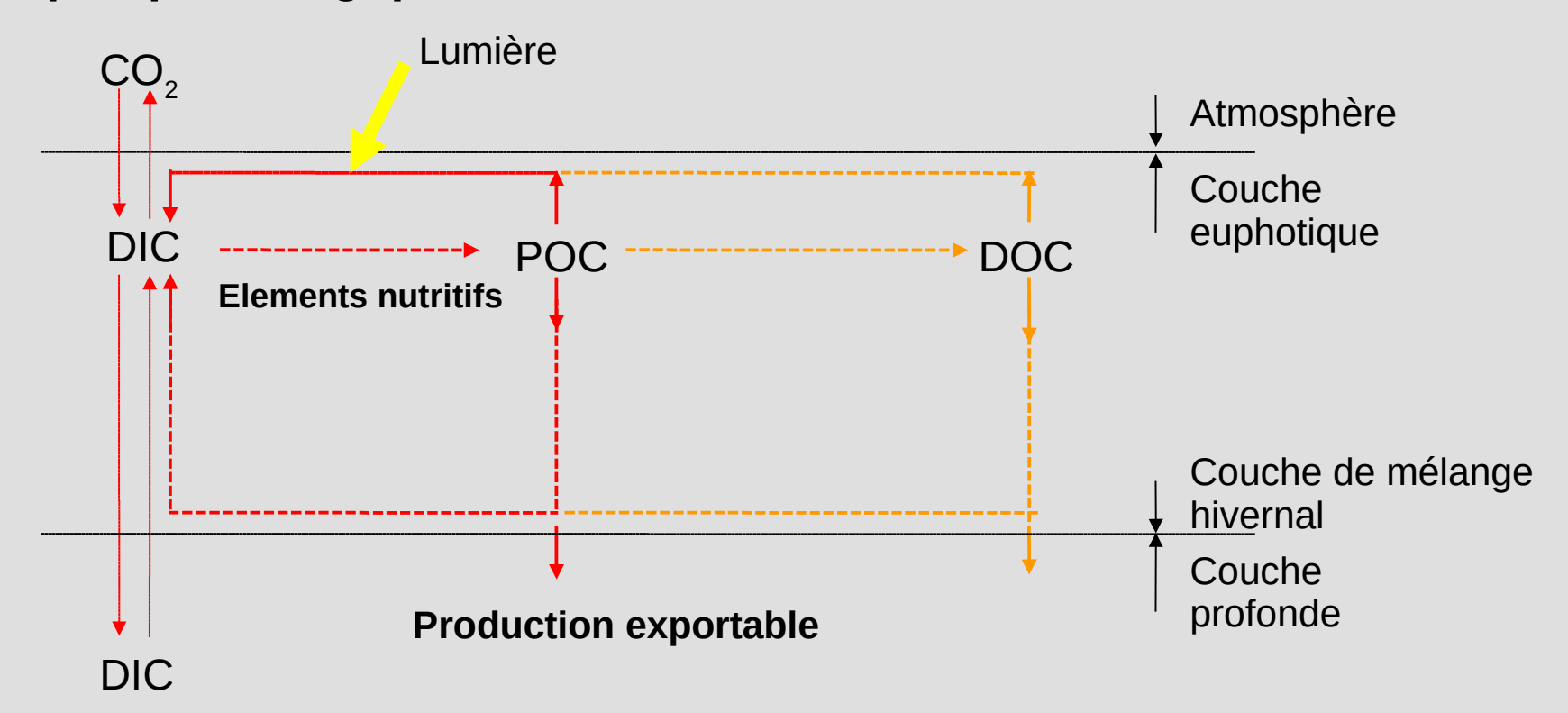
La pompe biologique



DIC: Carbone Inorganique Dissous POC: Carbone Organique Particulaire



La pompe biologique



DIC: Carbone Inorganique Dissous POC: Carbone Organique Particulaire DOC: Carbone Organique Dissous



Pourquoi l'exportation du carbone organique en Méditerranée ?

Zone privilégiée d'exportation de DOC

- forte oligotrophie, fort contrôle par le P
- faible exportation sous forme particulaire
- forte variabilité du DOC
- prépondérance de la boucle microbienne
- régions contrastées

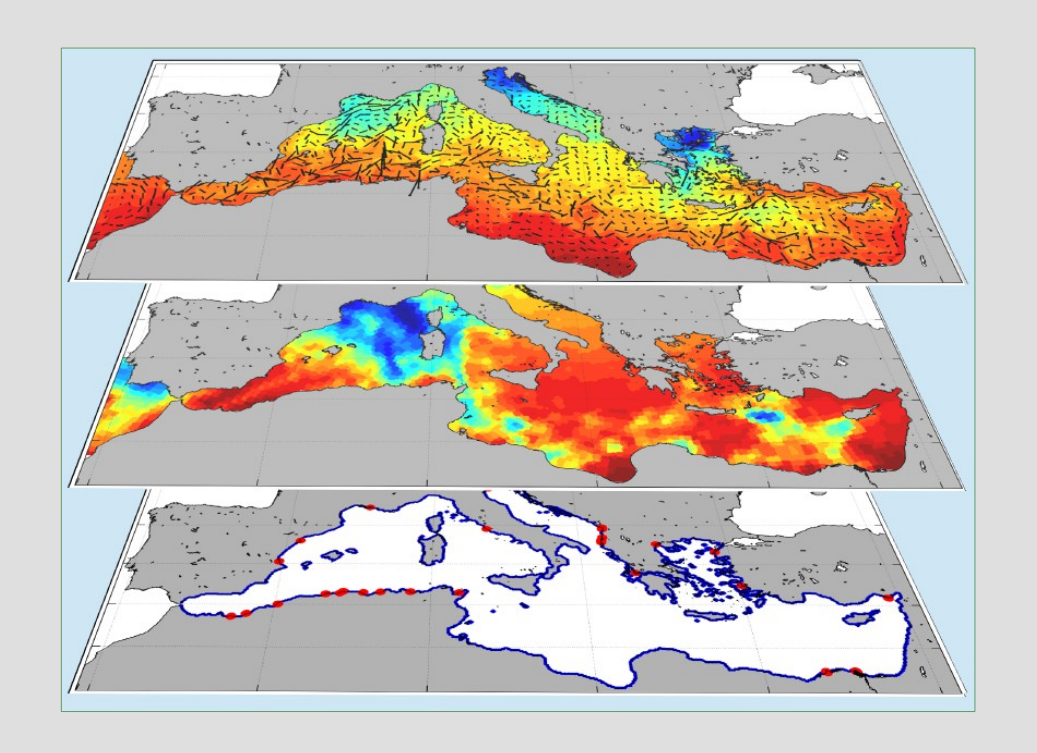


Source: http://visibleearth.nasa.gov/

Forçages physiques

Simulation longue NEMOMED-12 période 2000-2012

- Champs journaliers :
- vitesses et coefficients de diffusivité
- irradiance
- Champs mensuels :
- apports des **fleuves** en macronutriments (**Nitrate** et **Phosphate**)
- apports des rivières en matière organique (carbone organique dissous)

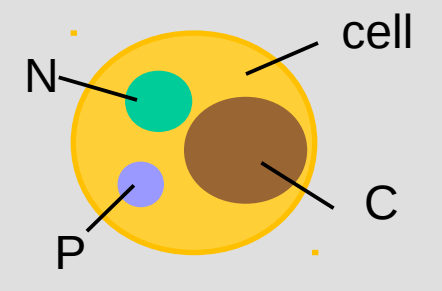


Eco3M-MED: spécificités

Quota intracellulaire: $Q_N = \frac{N}{cell}$

Rapport intracellulaire: $Q_{NC} = \frac{N}{C}$

Homéostasie : $Q \in [Q_{min}; Q_{max}]$

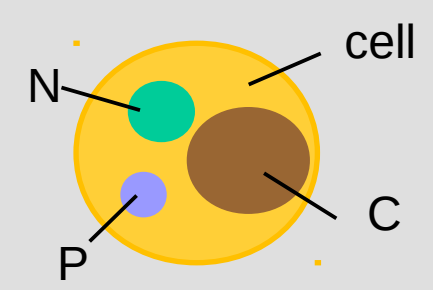


Eco3M-MED: spécificités

Quota intracellulaire: $Q_N = \frac{N}{cell}$

Rapport intracellulaire: $Q_{NC} = \frac{N}{C}$

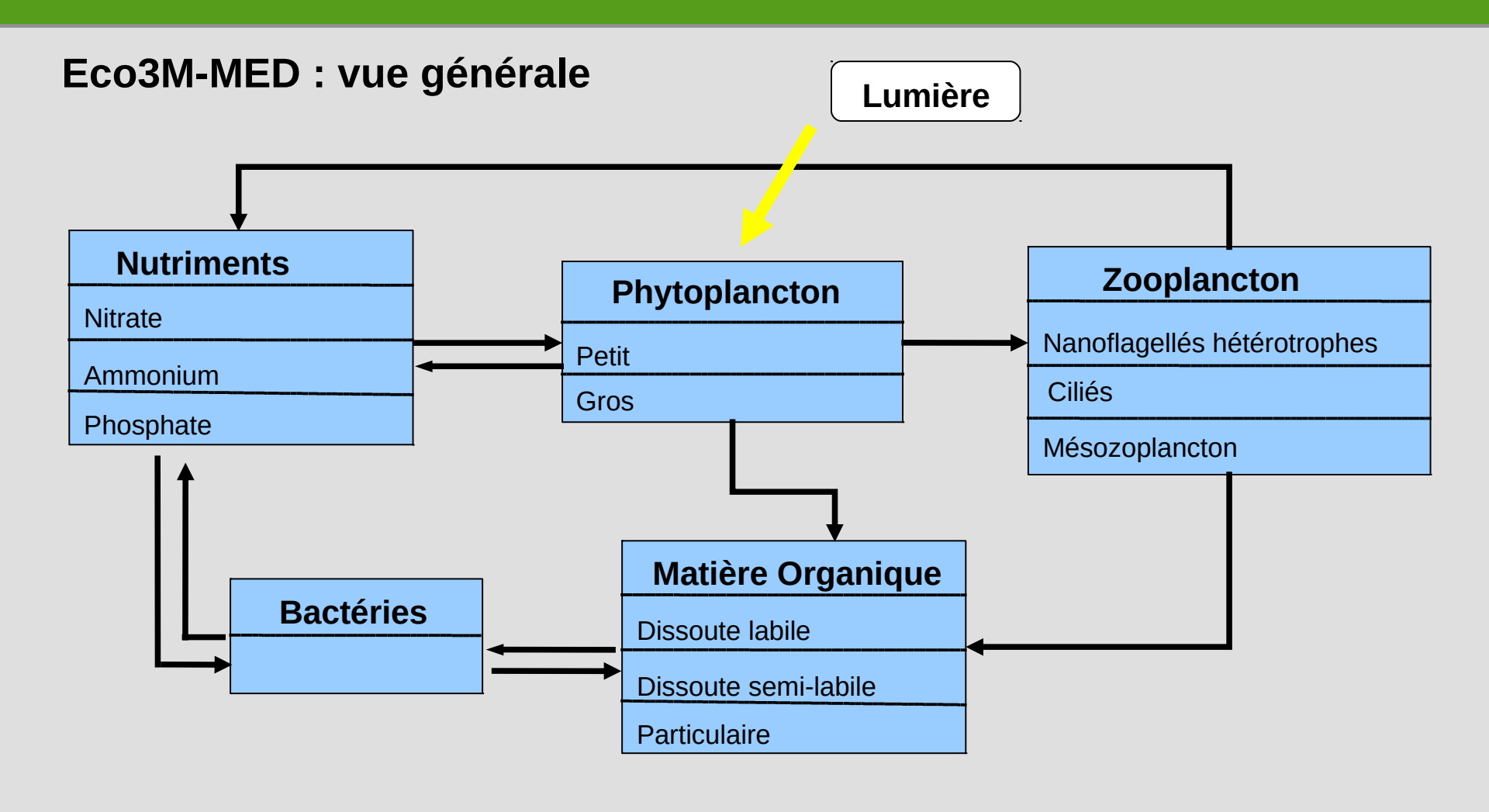
Homéostasie : $Q \in [Q_{min}; Q_{max}]$



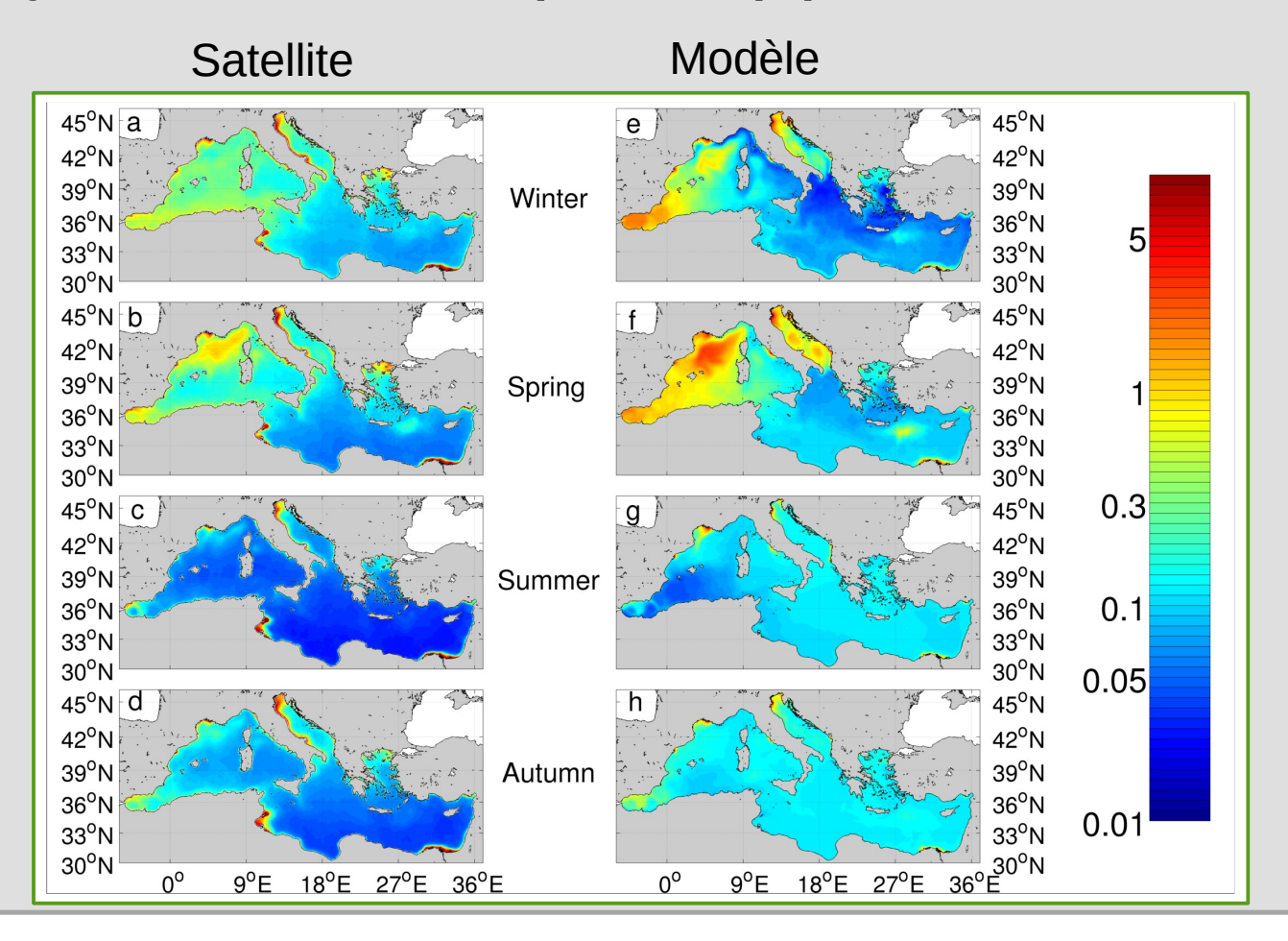
Régulation des cinétiques des processus par les fonctions de quotas

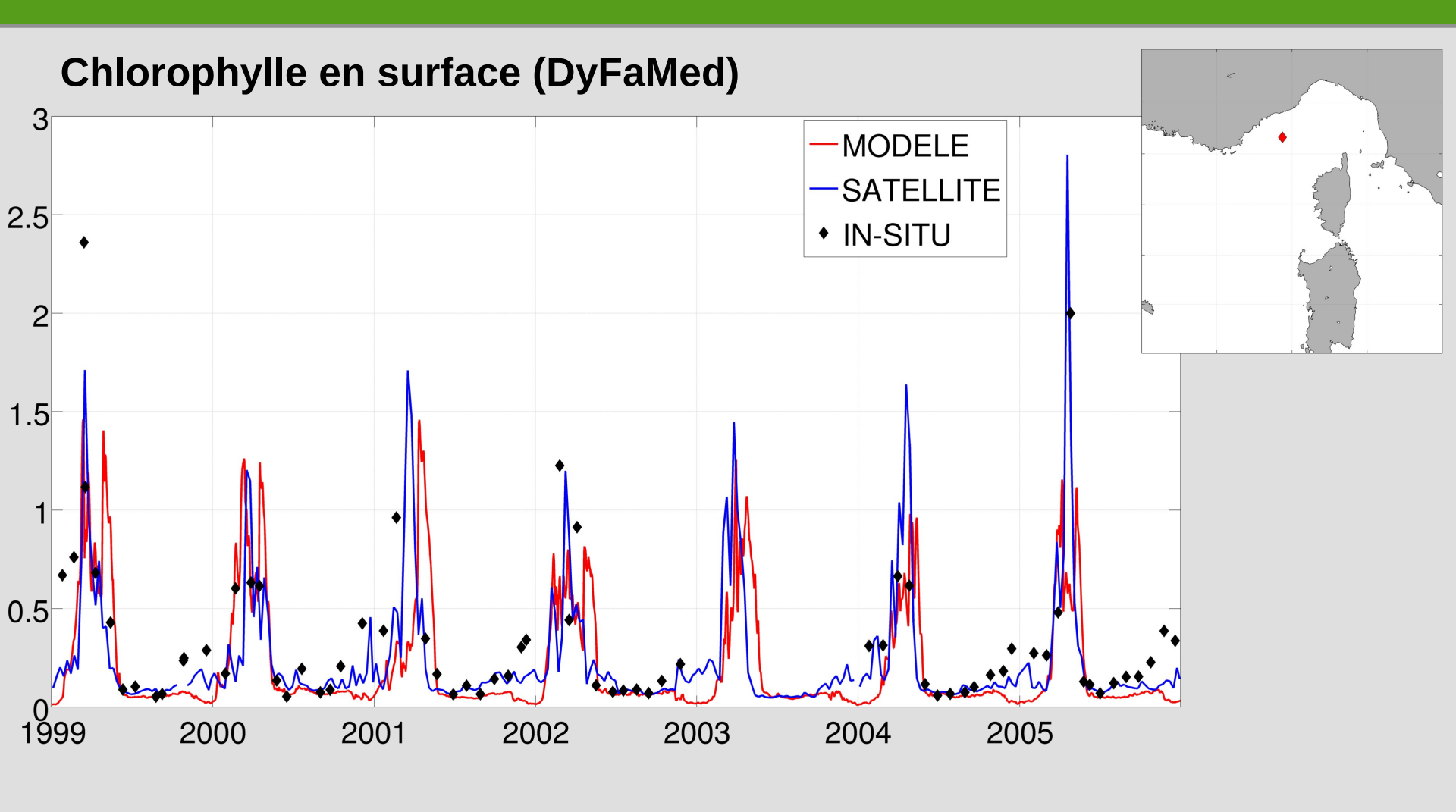
Intérêts de l'explicitation des abondances cellulaires :

- **Découplage des processus** (croissance, synthèse de carbone organique, absorption de nutriments,...)
- Fonctions de prédation exprimées explicitement en nombre de proies par prédateur
 - Disponibilité croissante de données d'abondances



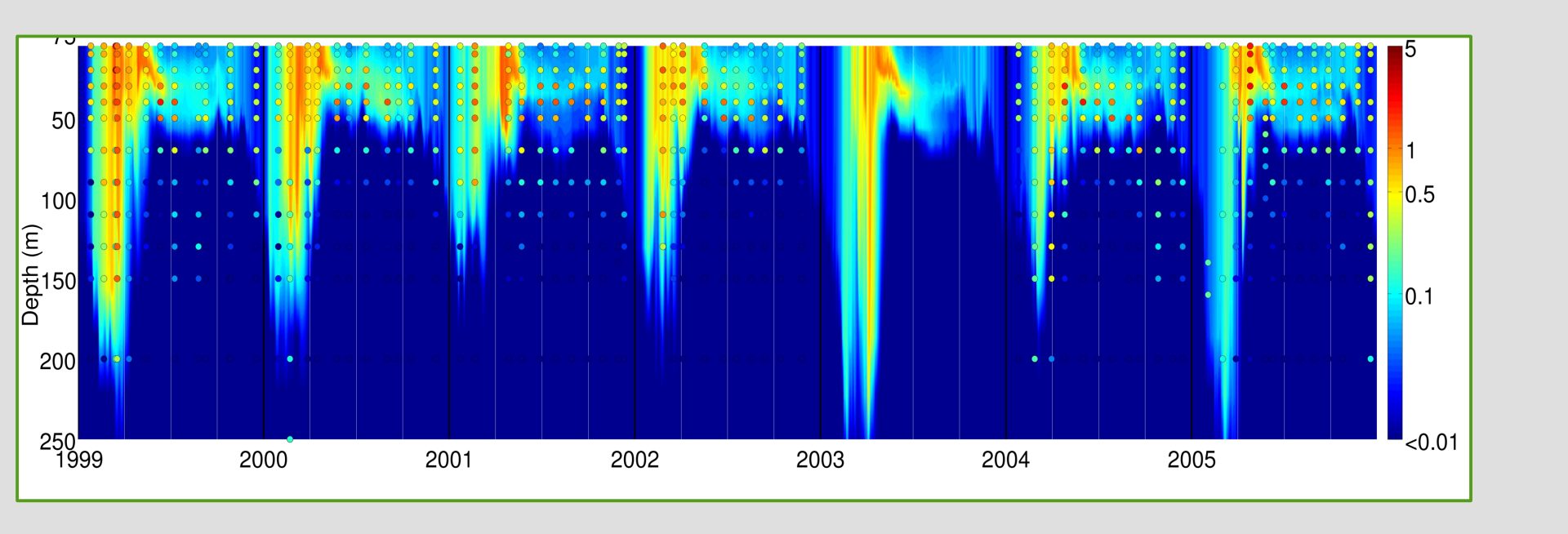
Chlorophylle surface satellite (ESA-CCI), période 2000-2012





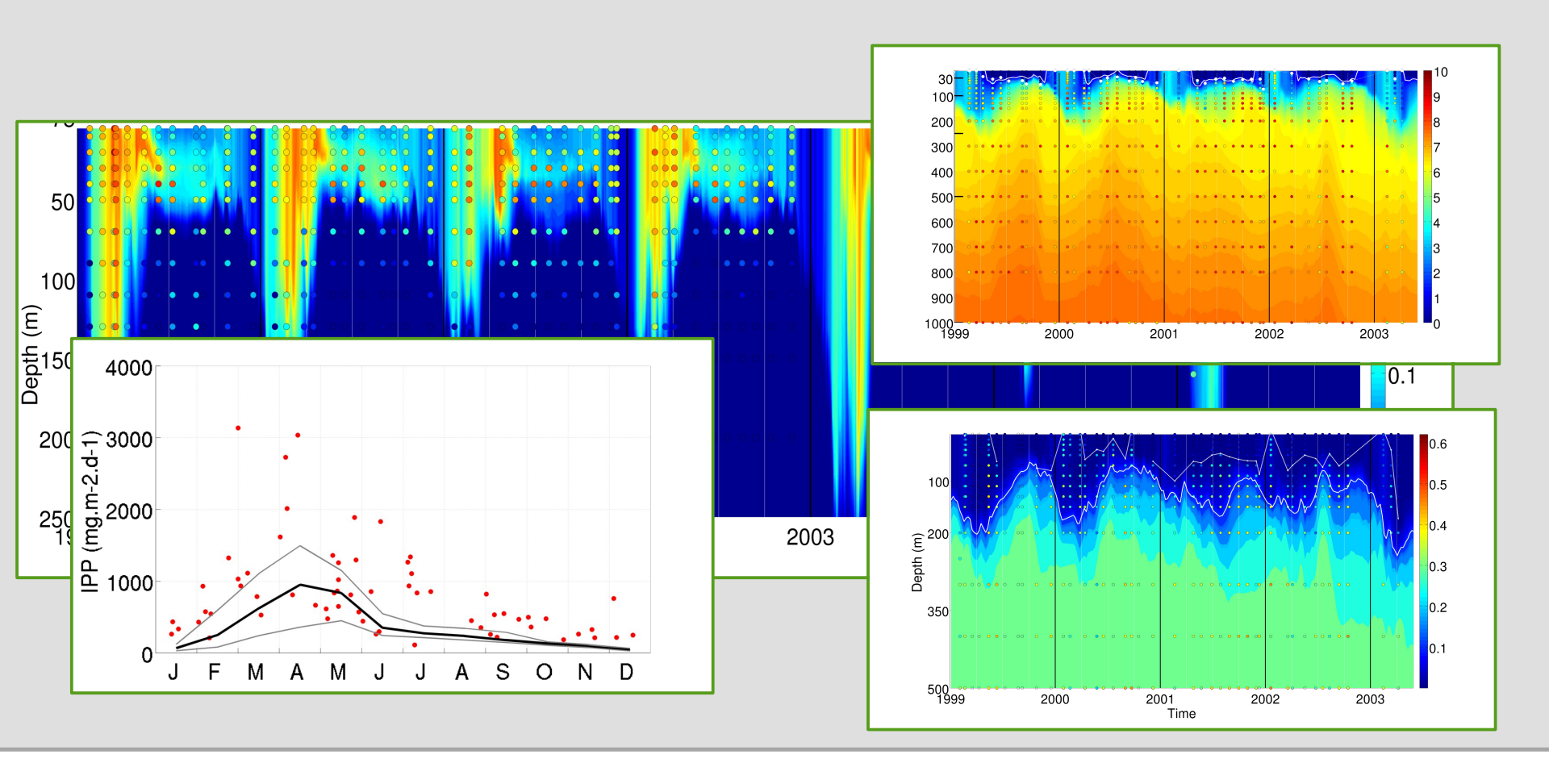


Chlorophylle dans la colonne d'eau (DyFaMed)



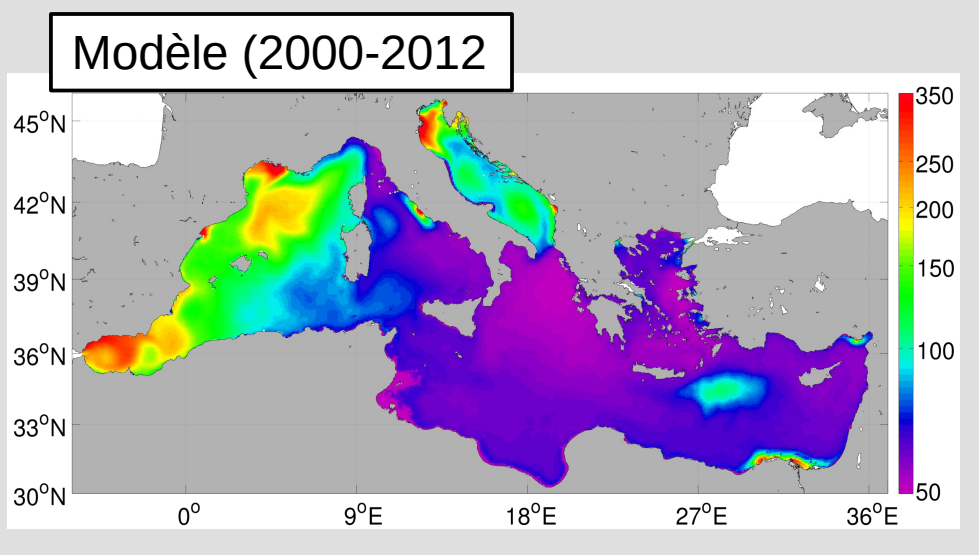


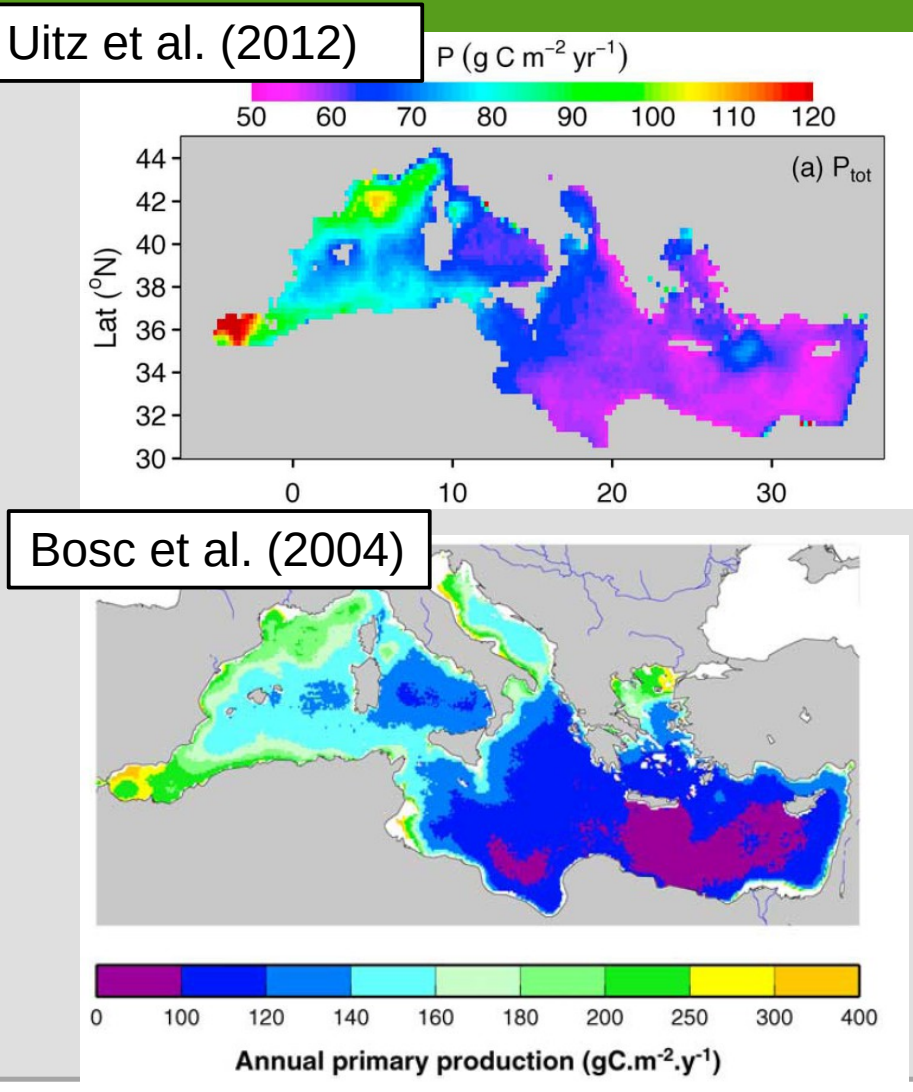
Chlorophylle dans la colonne d'eau (DyFaMed)





Production primaire

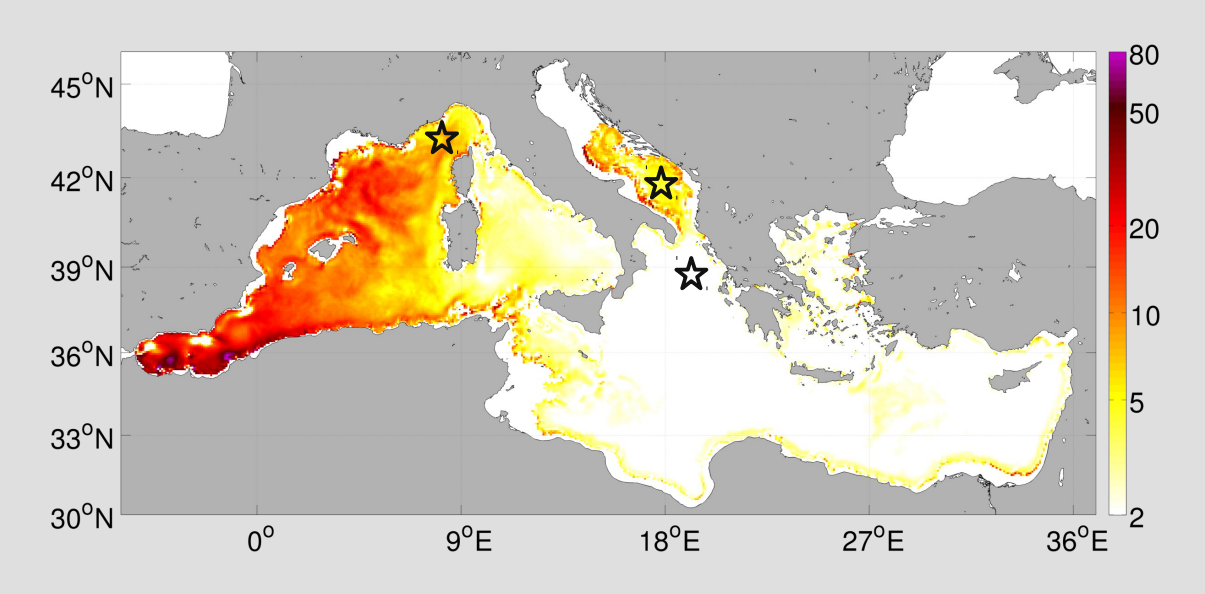






L'exportation du carbone organique particulaire sous la couche euphotique (100 m)

Contribution prépondérante du Bassin Ouest

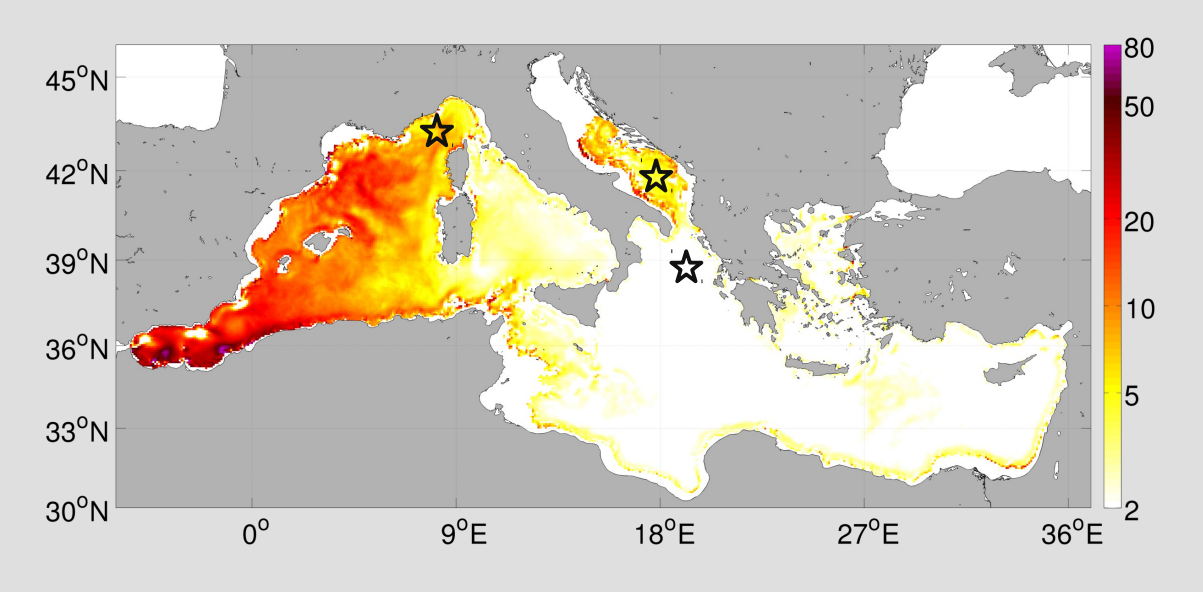


 $gC.m^2.an^{-1}$

Bassin **Ouest**: $-7.6 \, gC.m^2.an^{-1}$ Bassin **Est**: $-1.8 \, gC.m^2.an^{-1}$

L'exportation du carbone organique particulaire sous la couche euphotique (100 m)

Contribution prépondérante du Bassin Ouest



 $gC.m^2.an^{-1}$

DyFaMed : [1.2 ; 4.5]

[4.4; 8.7]

Ionien Nord: 2.4

[0.6; 1.2]

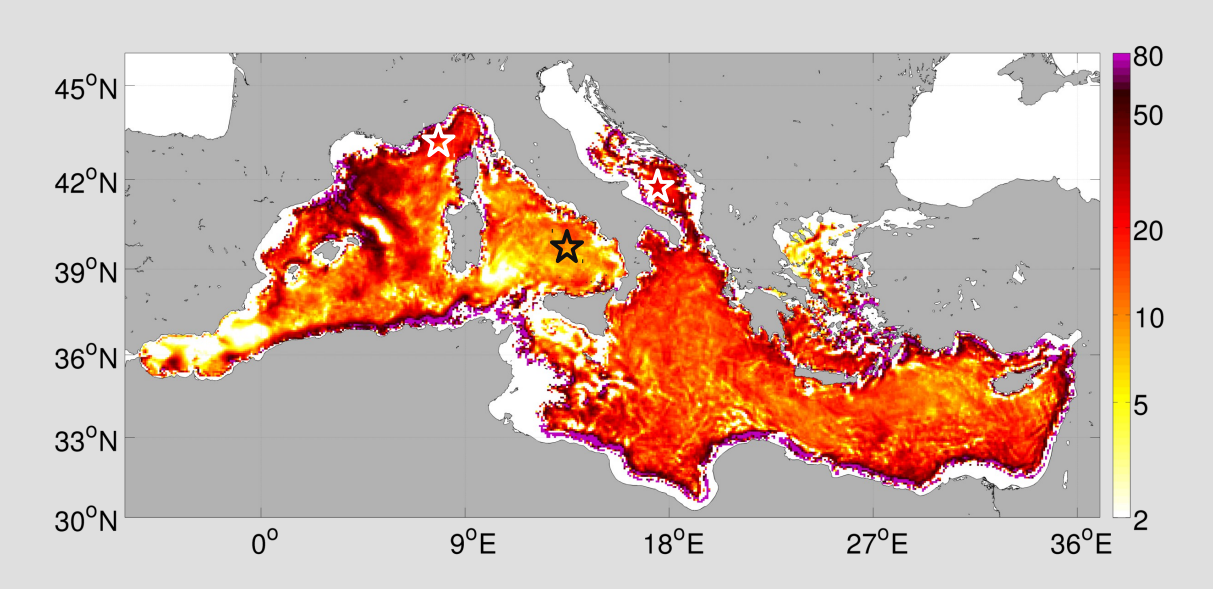
Adr. Sud : 3.3

[1.4; 4.4]

Bassin **Ouest**: $-7.6 \, gC.m^2.an^{-1}$ Bassin **Est**: $-1.8 \, gC.m^2.an^{-1}$

L'exportation du carbone organique dissous sous la couche euphotique (100 m)

Contribution des deux bassins

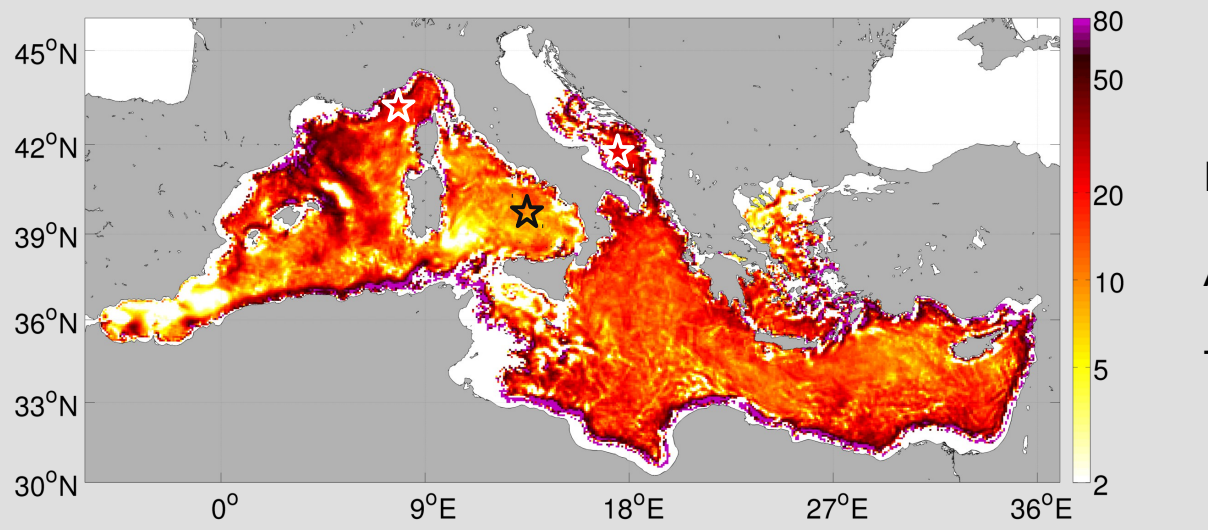


 $qC.m^2.an^{-1}$

Bassin **Ouest**: $-10.8 gC.m^2.an^{-1}$ Bassin **Est**: $-13.0 gC.m^2.an^{-1}$

L'exportation du carbone organique dissous sous la couche euphotique (100 m)

Contribution des deux bassins



 $qC.m^2.an^{-1}$

DyFaMed: 11.9

23.5

Adr. Sud : 15.4

44.1

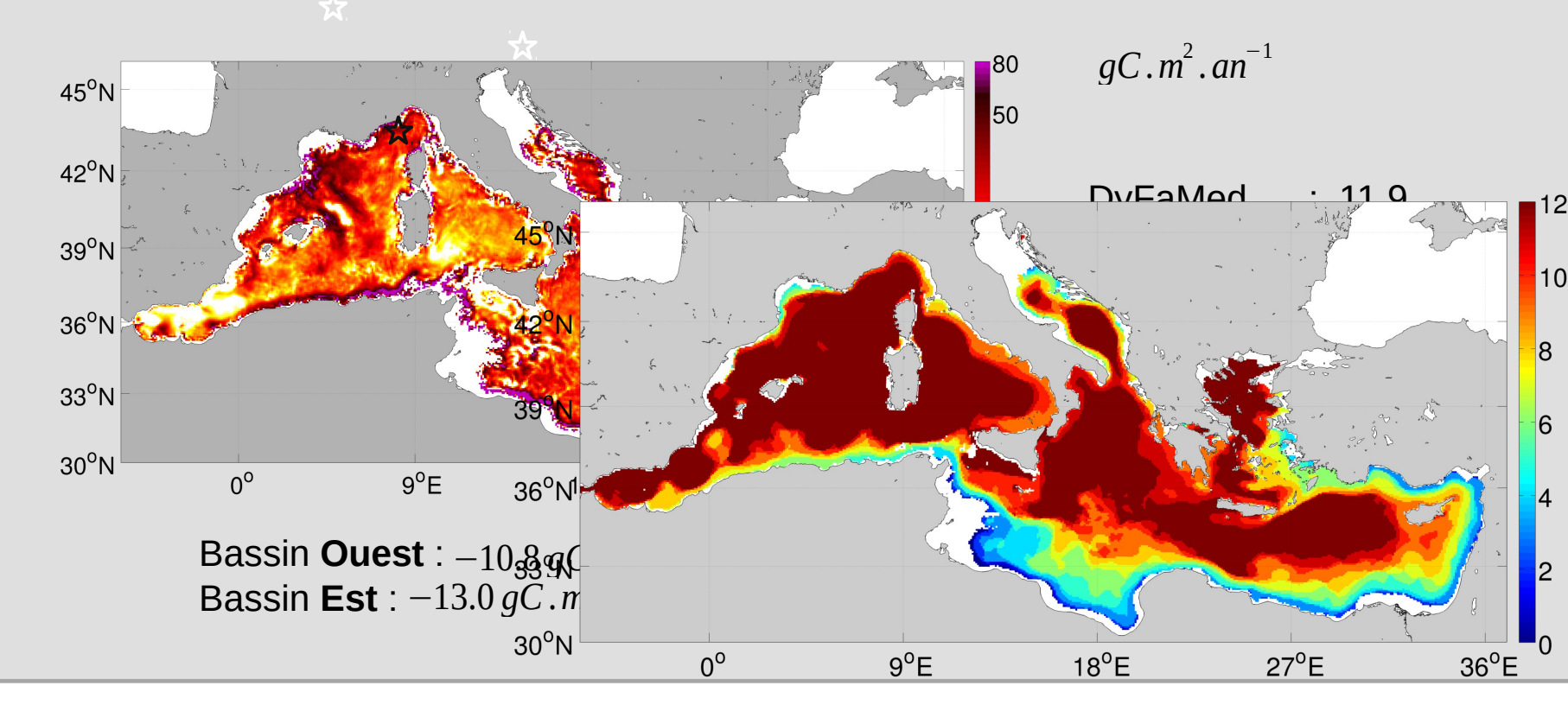
Tyrrhénienne : 3.2

11.2

Bassin **Ouest**: $-10.8 gC.m^2.an^{-1}$ Bassin **Est**: $-13.0 gC.m^2.an^{-1}$

L'exportation du carbone organique dissous sous la couche euphotique (100 m)

Contribution des deux bassins



Conclusion & Perspectives

- Premières cartographies de l'exportation du carbone organique à l'échelle du bassin
- Les flux de DOC sont déterminants Mer Méditerranée
- L' exportation a une **variabilité spatiale** importante. On retrouve le contraste Est/Ouest dans les **rapports du flux POC/DOC**.
- Identification de régions/saisons privilégiées d'exportation
 - accumulation estivale (compétition petit phyto/bactéries sous limitation en P)
 - découplage production/consommation de DOC
 - limitation forte de l'activité bactérienne (N ou P) tout le long de l'année

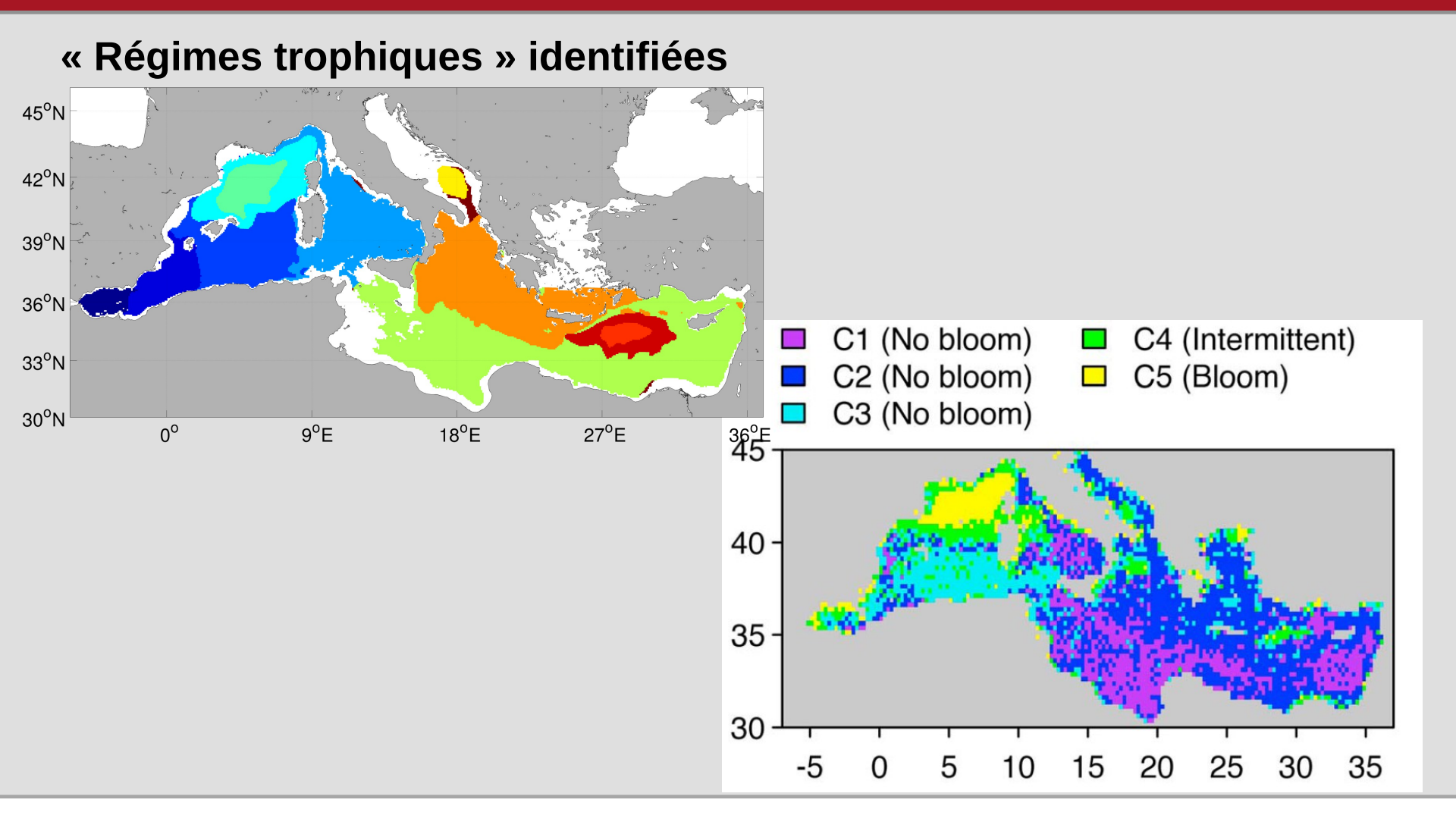
Conclusion & Perspectives

Défauts récurrents du modèle biologique

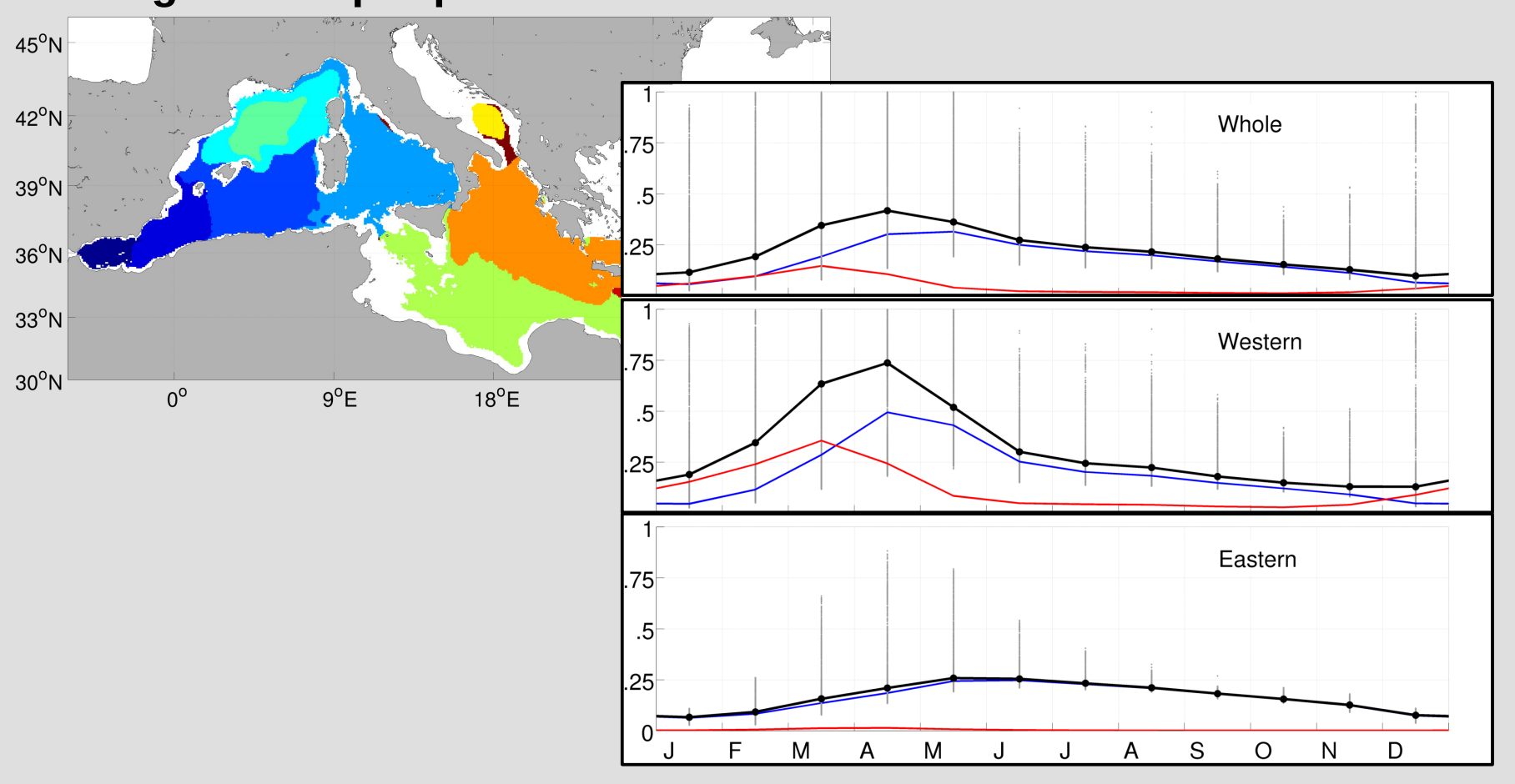
- **Représentation du maximum profond** (sous-estimation de la contribution du gros phytoplancton)
- **Profil** concentration en **nitrate** (surestimation en surface, représentation de la nitracline)
- **Signal** saisonnier de **chlorophylle** dans le Bassin **Est**

Perspectives

- Sensibilité au modèle d'extinction lumineuse
- Utilisation des forçages de la réanalyse MED12 avec assimilation et simulation plus longue
- Impact du changement climatique (scénarios RCP)

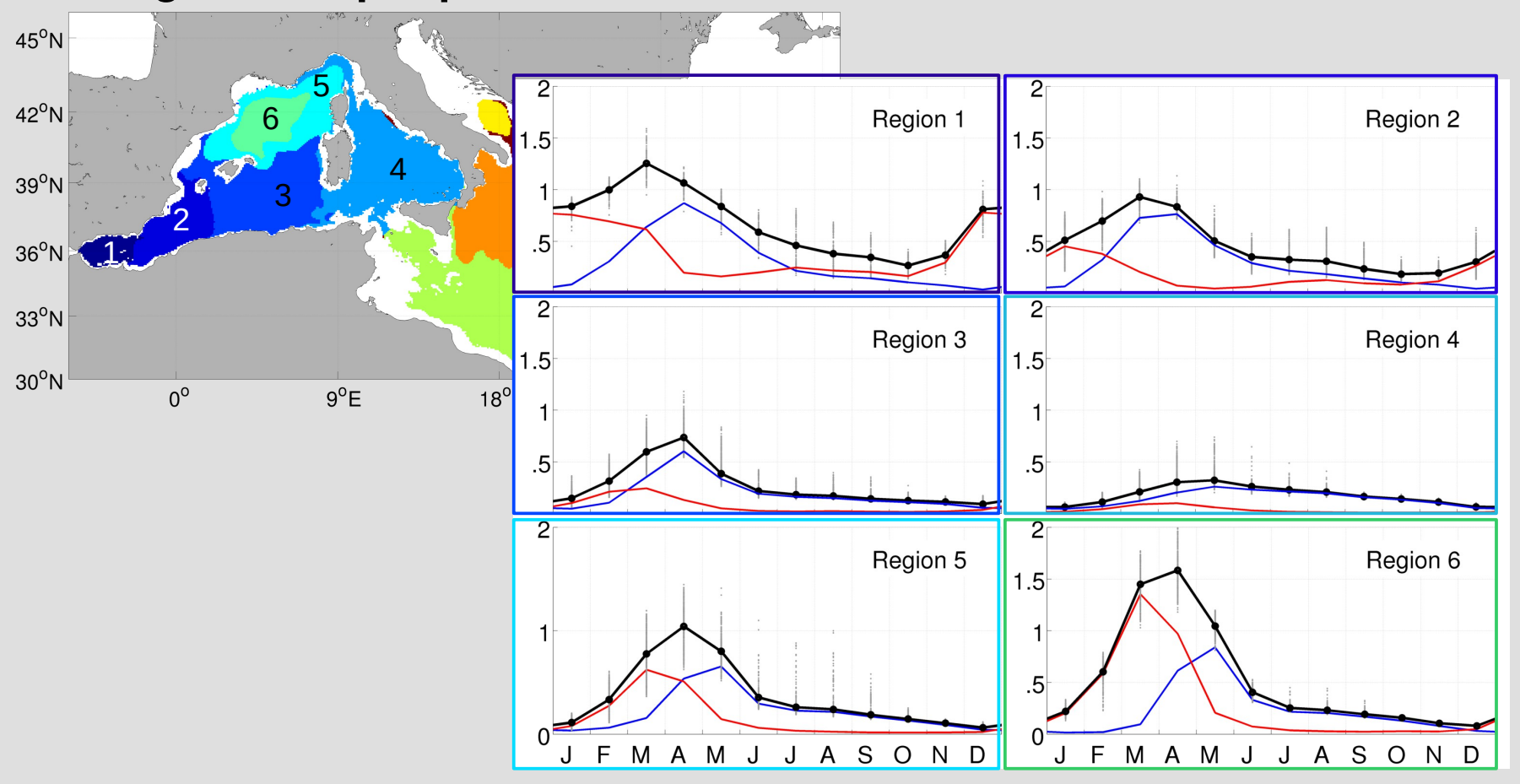


« Régimes trophiques » identifiées



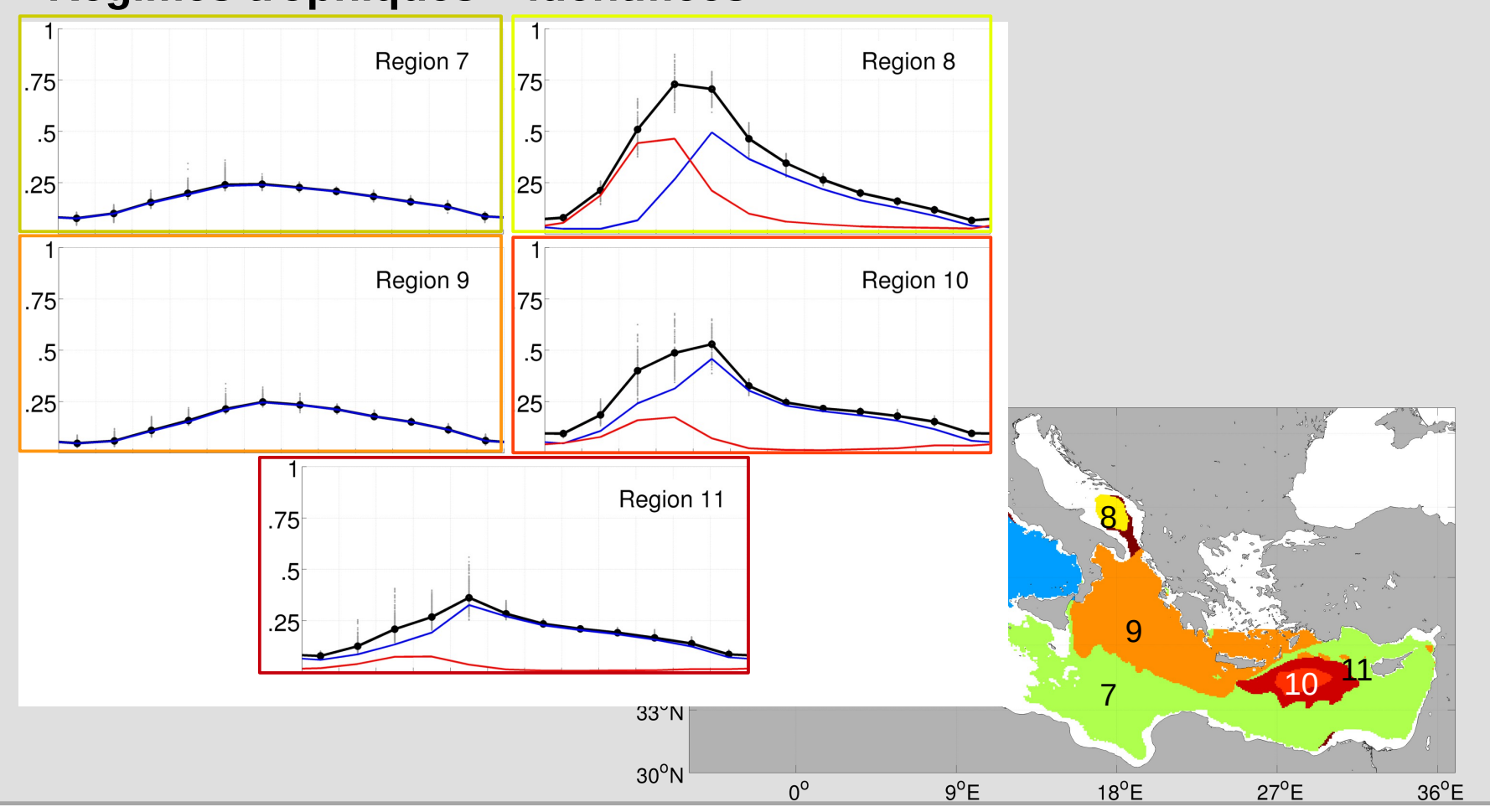


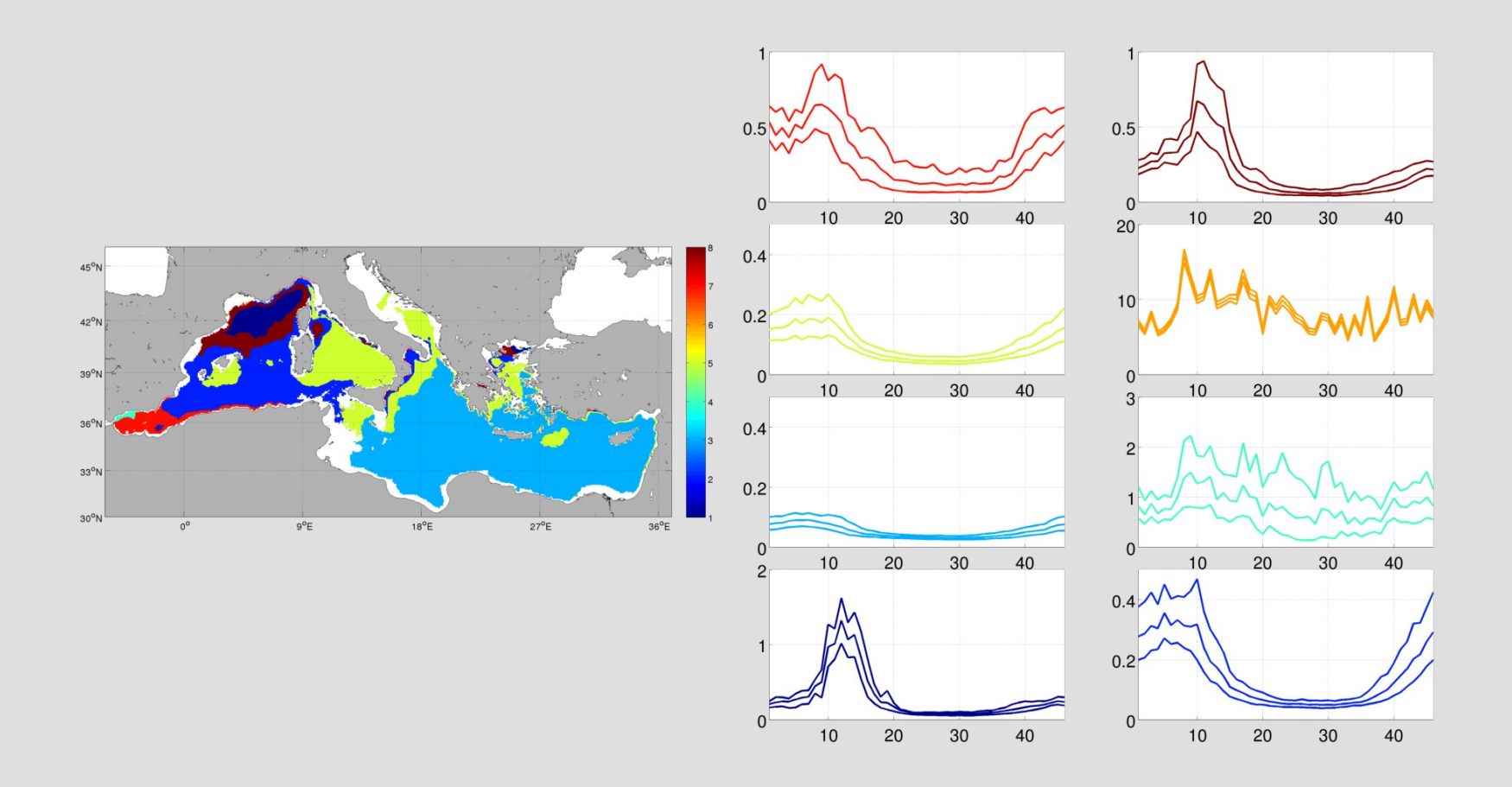
« Régimes trophiques » identifiées

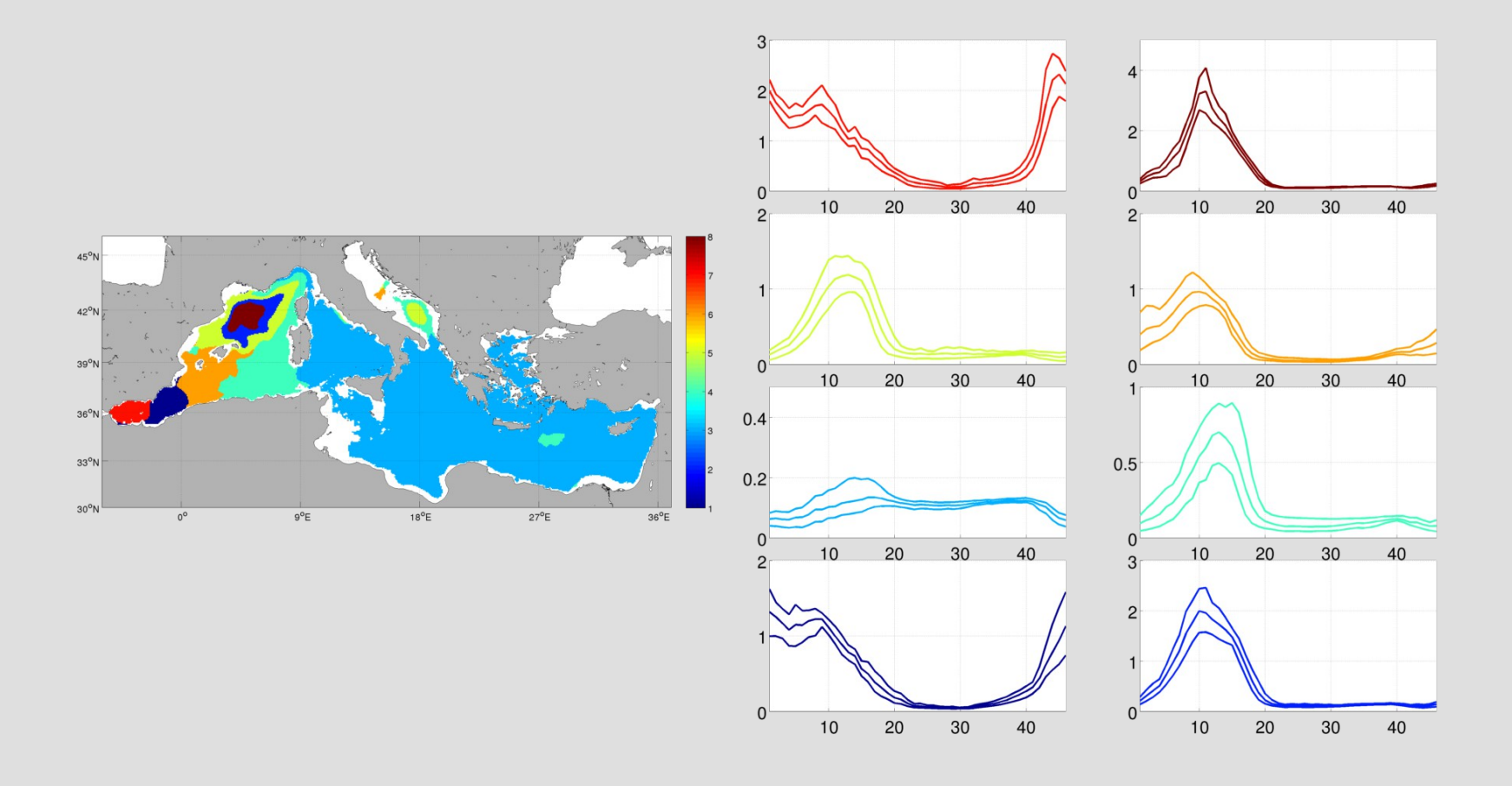


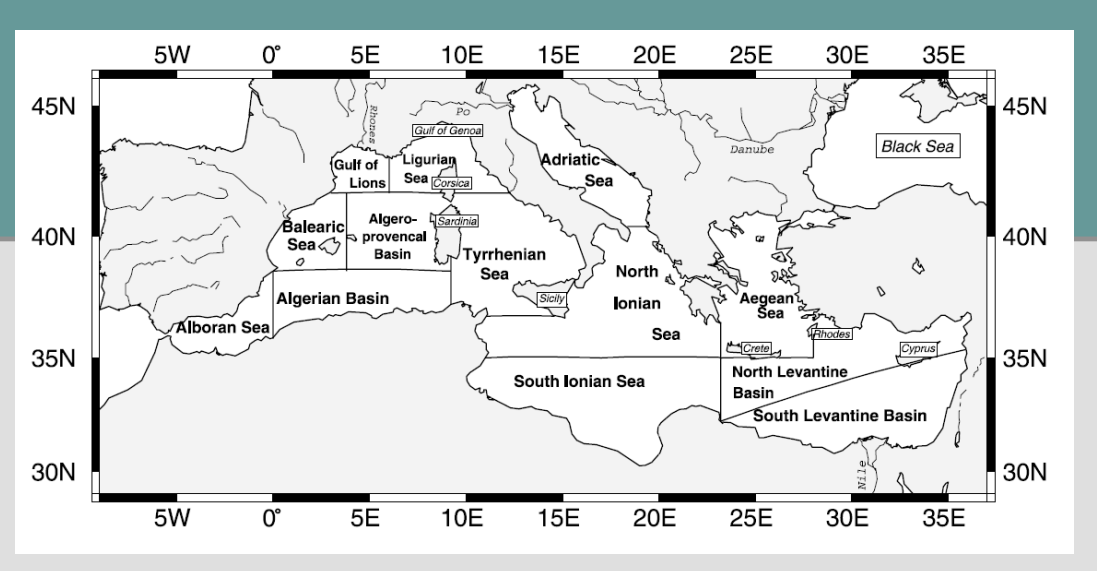


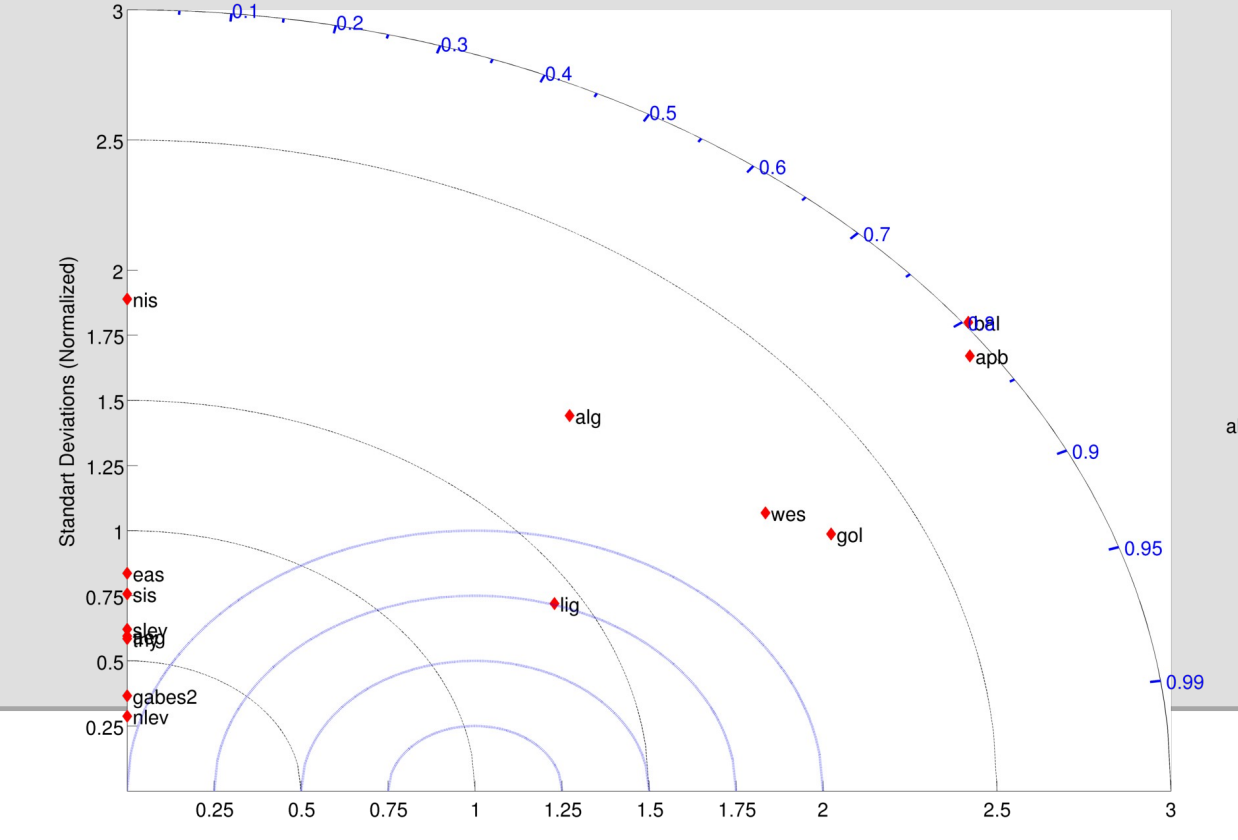
« Régimes trophiques » identifiées











L'exportation du carbone organique sous la couche euphotique

